

# Algorytmy sortowania

## Projekt 2

### Projektowanie i Analiza Algorytmów

Kod kursu: W04ISA-SI0013G

## 1 Wstęp

Celem projektu była implementacja i analiza trzech algorytmów grafowych: **przeszukiwania grafu w głąb (DFS)**, **algorytmu Dijkstry** oraz **algorytmu Bellmana-Forda**. W ramach zadania przeprowadzono eksperymenty mające na celu ocenę efektywności każdego z algorytmów na losowo generowanych grafach o różnej liczbie wierzchołków i gęstości, a także zbadano wpływ sposobu reprezentacji grafu (macierz sąsiedztwa oraz lista sąsiedztwa) na czas działania algorytmów.

## 2 Opis zaimplementowanych algorytmów

### 2.1 DFS (Depth-First Search)

**Algorytm przeszukiwania grafu w głąb (DFS)** eksploruje graf, podążając jak najdalej od wierzchołka początkowego wzdłuż nieodwiedzonych wierzchołków, zanim się cofnie. Jest często wykorzystywany do sprawdzania spójności grafu, wykrywania cykli lub topologicznego sortowania.

Złożoność czasowa:

- Dla listy sąsiedztwa:  $O(V + E)$
- Dla macierzy sąsiedztwa:  $O(V^2)$

### 2.2 Algorytm Dijkstry

**Algorytm Dijkstry** służy do wyznaczania najkrótszych ścieżek z jednego wierzchołka do wszystkich innych w grafie o **nieujemnych wagach krawędzi**. Wykorzystuje strukturę danych kolejki priorytetowej do efektywnego wyboru wierzchołka z najmniejszym aktualnym dystansem.

Złożoność czasowa:

- Dla listy sąsiedztwa:  $O((V + E) \log V)$
- Dla macierzy sąsiedztwa:  $O(V^2)$

### 2.3 Algorytm Bellmana-Forda

**Algorytm Bellmana-Forda** również znajduje najkrótsze ścieżki z jednego wierzchołka do pozostałych, ale **obsługuje grafy z krawędziami o ujemnych wagach**. W odróżnieniu od algorytmu Dijkstry, wykonuje relaksację wszystkich krawędzi wielokrotnie. **Może także wykrywać cykle o ujemnej długości.**

Złożoność czasowa:

- Dla listy sąsiedztwa:  $O(V \cdot E)$
- Dla macierzy sąsiedztwa:  $O(V \cdot E)$

## 3 Działanie algorytmów

### 3.1 DFS (Depth-First Search)

Implementacja DFS działa w sposób rekurencyjny lub z użyciem stosu (w moim przypadku sposób rekurencyjny):

1. Inicjalizacja - algorytm rozpoczyna działanie od wybranego wierzchołka startowego.
2. Oznaczanie odwiedzonych wierzchołków - każdy odwiedzony wierzchołek jest zapamiętywany, aby uniknąć cyklicznych odwiedzin.
3. Rekurencyjne przechodzenie do sąsiadów - dla każdego sąsiada nieodwiedzonego wierzchołka algorytm wywołuje się rekurencyjnie.
4. Zakończenie - algorytm kończy działanie, gdy wszystkie wierzchołki osiągalne ze startowego zostaną odwiedzone.

Dzięki tej implementacji możliwe było zweryfikowanie spójności grafu oraz testowanie struktury odwiedzin na potrzeby wizualizacji.

### 3.2 Algorytm Dijkstry

Implementacja algorytmu Dijkstry bazuje na użyciu kolejki priorytetowej (np. kopca) dla zapewnienia efektywnego wyboru wierzchołka z najmniejszym znanym dystansem.

1. Inicjalizacja - wszystkie wierzchołki otrzymują nieskończony dystans oprócz wierzchołka startowego, którego odległość wynosi 0.
  2. Wybór wierzchołka o najmniejszym dystansie - z kolejki wybierany jest wierzchołek o najmniejszej znanej odległości.
  3. Relaksacja krawędzi - dla każdego sąsiada aktualizowany jest dystans, jeśli nowa ścieżka jest krótsza.
  4. Powtarzanie - czynności są powtarzane aż do odwiedzenia wszystkich wierzchołków lub opróżnienia kolejki.
- Algorytm poprawnie działa tylko dla grafów o nieujemnych wagach.

### 3.3 Algorytm Bellmana-Forda

Bellman-Ford został zaimplementowany w klasycznej wersji z  $V - 1$  iteracjami relaksacji krawędzi.

1. Inicjalizacja - podobnie jak w Dijkstrze, wszystkie dystanse ustawiane są na nieskończoność poza wierzchołkiem startowym.
2. Relaksacja wszystkich krawędzi - w każdej z  $V - 1$  iteracji algorytm przechodzi przez wszystkie krawędzie i aktualizuje dystanse, jeśli znajdzie krótszą ścieżkę.
3. Wykrywanie cykli - po zakończeniu iteracji wykonywana jest dodatkowa pętla sprawdzająca, czy możliwa jest dalsza relaksacja. Jeśli tak, oznacza to istnienie cyklu o ujemnej wadze.
4. Zakończenie - algorytm zwraca listę najkrótszych dystansów lub sygnalizuje obecność cyklu.

Algorytm nadaje się do grafów z ujemnymi wagami, co czyni go bardziej ogólnym niż Dijkstra, ale mniej wydajnym.

## 4 Metodyka pomiarów

Dla każdego z zaimplementowanych algorytmów (DFS, Dijkstra, Bellman-Ford) przeprowadzono pomiary czasu działania w różnych warunkach. Eksperymenty uwzględniały:

- rozmiary grafów: 10, 50, 100, 200 oraz 500 wierzchołków,
- gęstości grafów: 25%, 50%, 75% oraz 100% (graf pełny),
- reprezentacje grafów: lista sąsiedztwa oraz macierz sąsiedztwa.

Dla każdej kombinacji parametrów wykonano 5 serii testów, każda z innym **seed** (250, 300, 350, 400, 450) do funkcji **std::srand()**, co daje łącznie 500 pomiarów na jedną konfigurację (100 powtórzeń · 5 seedów). Zastosowanie różnych wartości początkowych generatora liczb losowych pozwoliło uzyskać bardziej wiarygodne statystycznie wyniki.

W przypadku algorytmu Bellmana-Forda wykorzystano dodatkowo grafy z ujemnymi wagami krawędzi, aby w pełni zweryfikować jego poprawne działanie także w sytuacjach, w których inne algorytmy (np. Dijkstra) nie znajdują zastosowania.

Pomiar czasu realizowany był z użyciem funkcji **std::chrono::high\_resolution\_clock**, a średnie wyniki zapisano w pliku **results/Results.txt**.

#### Wykorzystany sprzęt:

Testy zostały przeprowadzone na laptopie **Lenovo Legion Slim 5 16AHP9**

- procesor AMD Ryzen 7 8845HS w/ Radeon 780M Graphics 3.80 GHz
- RAM 32,0 GB
- 64-bitowy system operacyjny, procesor oparty na architekturze x64.

## 5 Wyniki oraz wykresy czasów sortowania

### 5.1 Dane pomiarowe

Tabela 1: Porównanie czasów operacji algorytmów grafowych dla **gęstości 25%** (czasy w  $[\mu s]$ )

Algorytm / Struktura	10 wierz.	50 wierz.	100 wierz.	200 wierz.	500 wierz.
DFS – Lista	0.98	17.06	64.34	244.41	1484.09
DFS – Macierz	0.16	0.45	0.92	2.25	5.49
Dijkstra – Lista	2.58	58.11	200.79	729.67	3904.03
Dijkstra – Macierz	3.24	76.40	305.94	1273.41	8226.66
Bellman-Ford – Lista	4.06	440.83	3536.78	27244.80	460609.00
Bellman-Ford – Macierz	4.99	661.45	5399.13	42900.60	1150550.00

Tabela 2: Porównanie czasów operacji algorytmów grafowych dla **gęstości 50%** (czasy w  $[\mu s]$ )

Algorytm / Struktura	10 wierz.	50 wierz.	100 wierz.	200 wierz.	500 wierz.
DFS – Lista	1.80	30.99	121.87	478.36	2819.70
DFS – Macierz	0.20	0.75	1.55	3.70	8.26
Dijkstra – Lista	5.17	94.17	374.66	1301.41	7157.78
Dijkstra – Macierz	7.00	141.88	587.43	2400.00	14637.50
Bellman-Ford – Lista	7.00	875.85	6924.48	54362.80	998190.00
Bellman-Ford – Macierz	6.64	950.85	7731.85	100062.00	1850540.00

Tabela 3: Porównanie czasów operacji algorytmów grafowych dla **gęstości 75%** (czasy w  $[\mu s]$ )

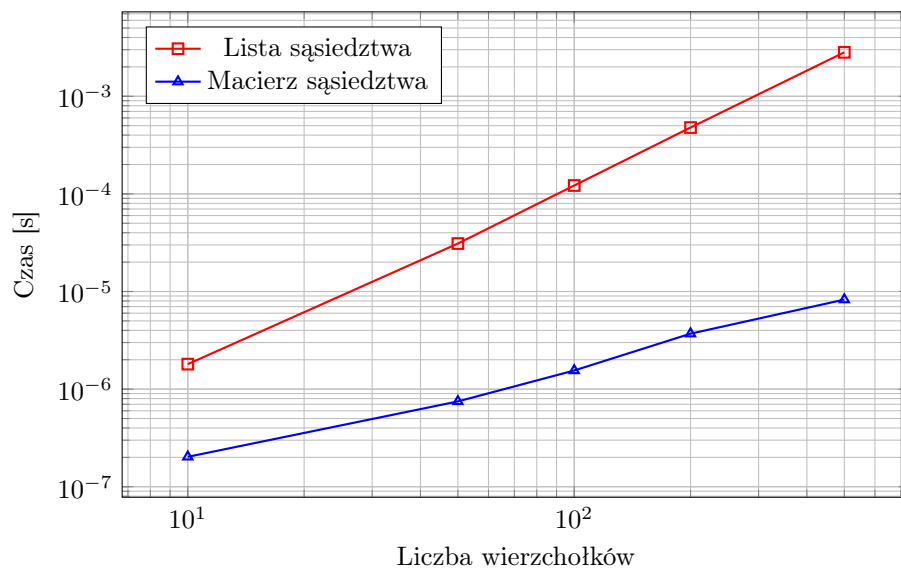
Algorytm / Struktura	10 wierz.	50 wierz.	100 wierz.	200 wierz.	500 wierz.
DFS – Lista	2.39	44.60	170.84	700.14	4159.22
DFS – Macierz	0.27	0.89	1.89	3.94	9.10
Dijkstra – Lista	7.09	135.56	495.14	1829.14	10289.30
Dijkstra – Macierz	9.92	189.40	781.43	2930.26	17451.20
Bellman-Ford – Lista	10.07	1288.56	10078.70	80665.80	1520990.00
Bellman-Ford – Macierz	8.86	1170.96	9286.59	100214.00	1830790.00

Tabela 4: Porównanie czasów operacji algorytmów grafowych dla **gęstości 100%** (czasy w  $[\mu s]$ )

Algorytm / Struktura	10 wierz.	50 wierz.	100 wierz.	200 wierz.	500 wierz.
DFS – Lista	2.94	59.37	224.92	915.05	5493.41
DFS – Macierz	0.30	1.08	1.96	4.01	9.38
Dijkstra – Lista	8.59	174.95	625.90	2347.43	13715.50
Dijkstra – Macierz	10.40	216.67	887.56	3203.40	17324.80
Bellman-Ford – Lista	12.88	1736.72	13433.80	107633.00	2076130.00
Bellman-Ford – Macierz	11.06	1406.82	10822.40	107505.00	1892230.00

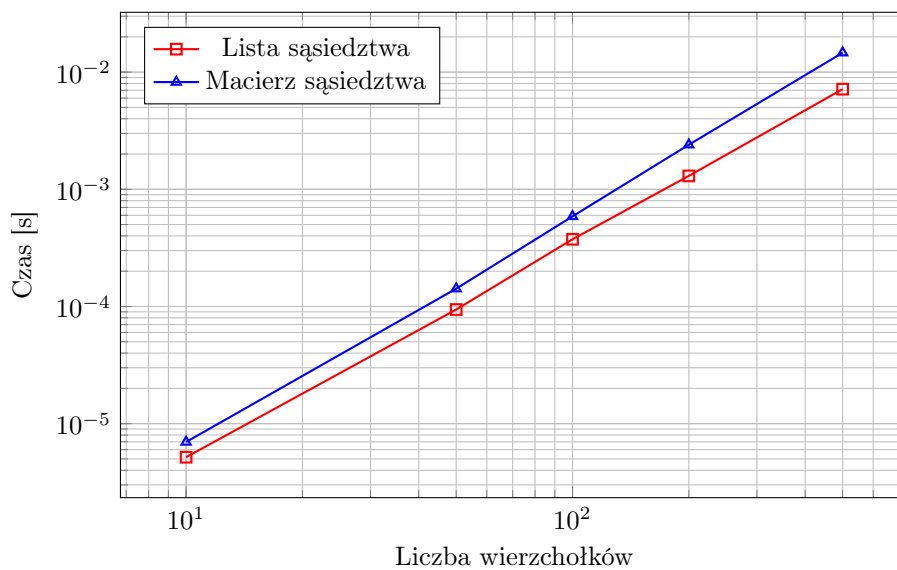
## 5.2 Porównanie algorytmów dla różnych reprezentacji grafu

Porównanie czasu wykonania **DFS** dla różnych reprezentacji grafu



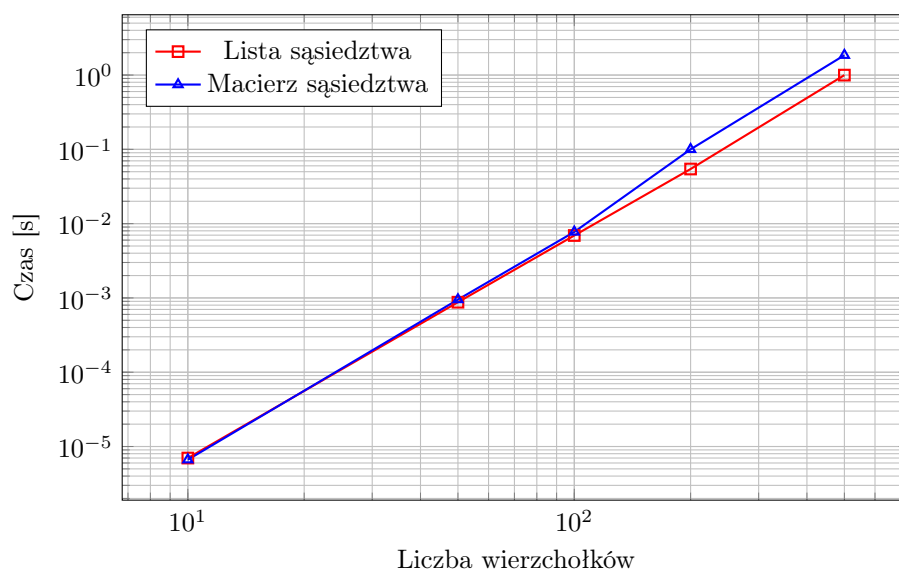
Rysunek 1: Porównanie czasu wykonania **DFS** dla listy i macierzy sąsiedztwa (gęstość grafu 50%).

Porównanie czasu wykonania **Dijkstry** dla różnych reprezentacji grafu



Rysunek 2: Porównanie czasu wykonania **Dijkstry** dla listy i macierzy sąsiedztwa (gęstość grafu 50%).

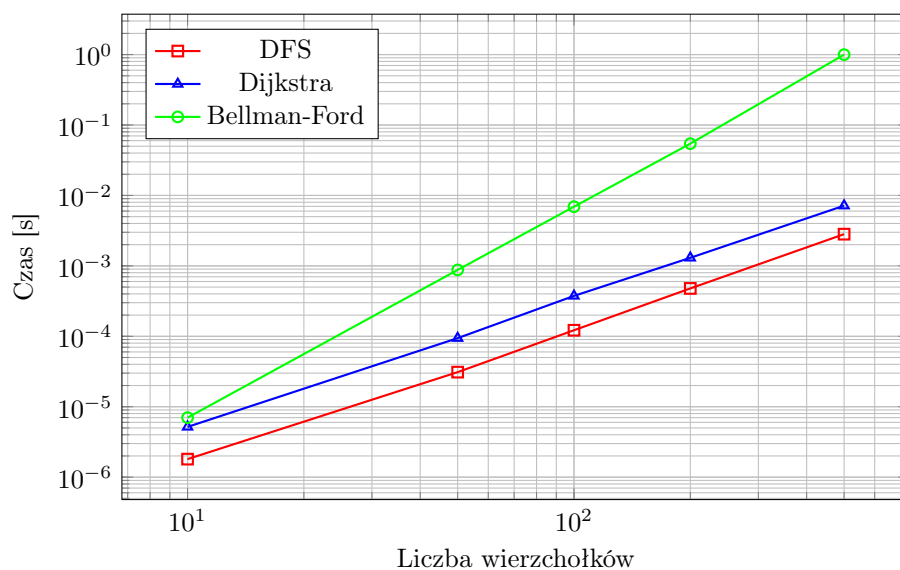
Porównanie czasu wykonania **Bellmana-Forda** dla różnych reprezentacji grafu



Rysunek 3: Porównanie czasu wykonania **Bellmana-Forda** dla listy i macierzy sąsiedztwa (gęstość grafu 50%).

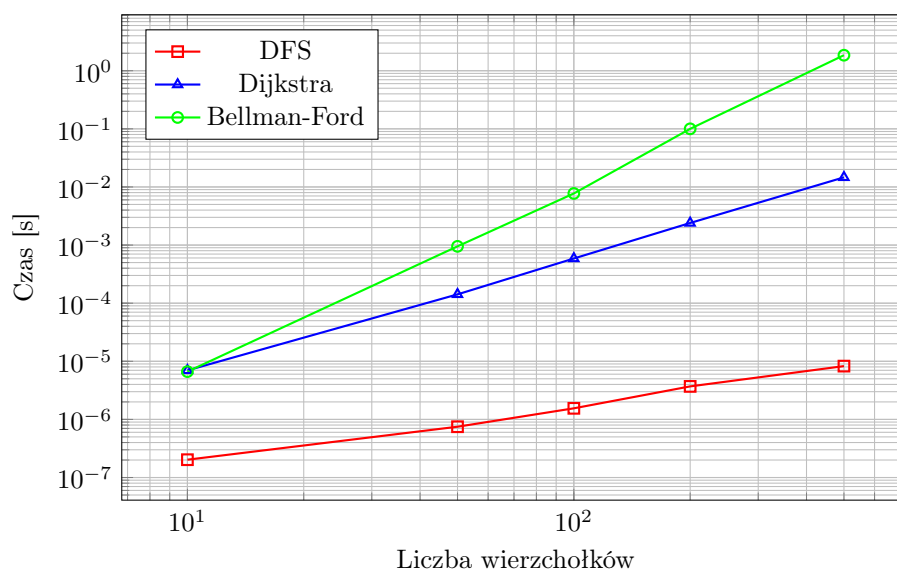
### 5.3 Porównanie wszystkich algorytmów dla listy sąsiedztwa

Porównanie czasu wykonania algorytmów dla listy sąsiedztwa



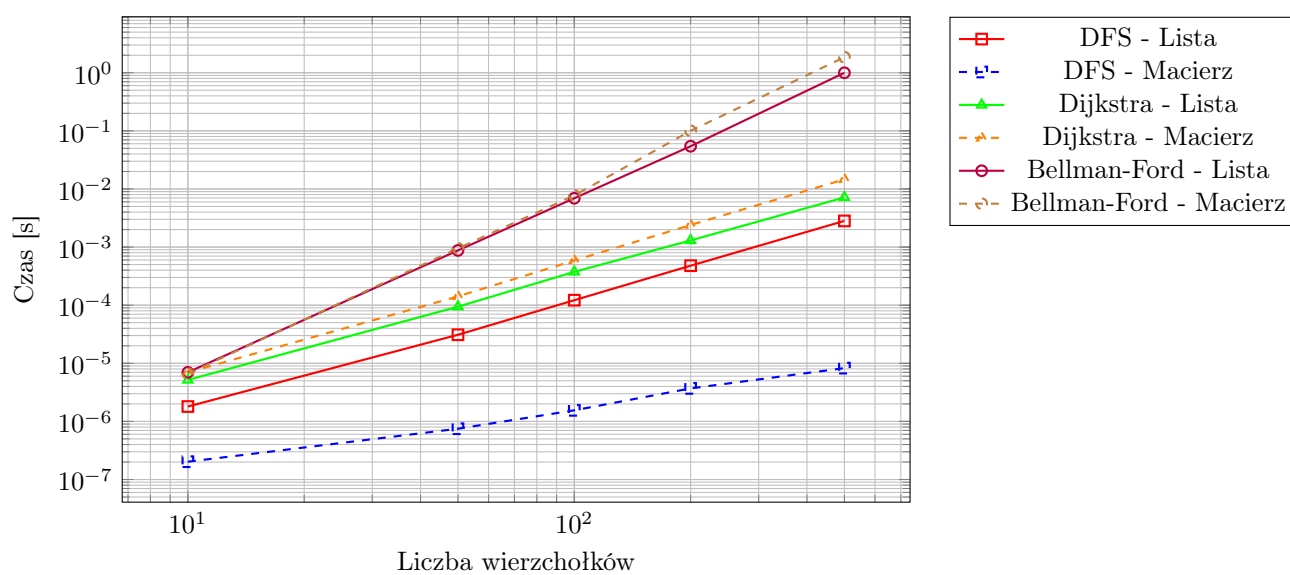
Rysunek 4: Porównanie czasu wykonania algorytmów dla listy sąsiedztwa (gęstość grafu 50%).

Porównanie czasu wykonania algorytmów dla **macierzy sąsiedztwa**



Rysunek 5: Porównanie czasu wykonania algorytmów dla macierzy sąsiedztwa (**gęstość grafu 50%**).

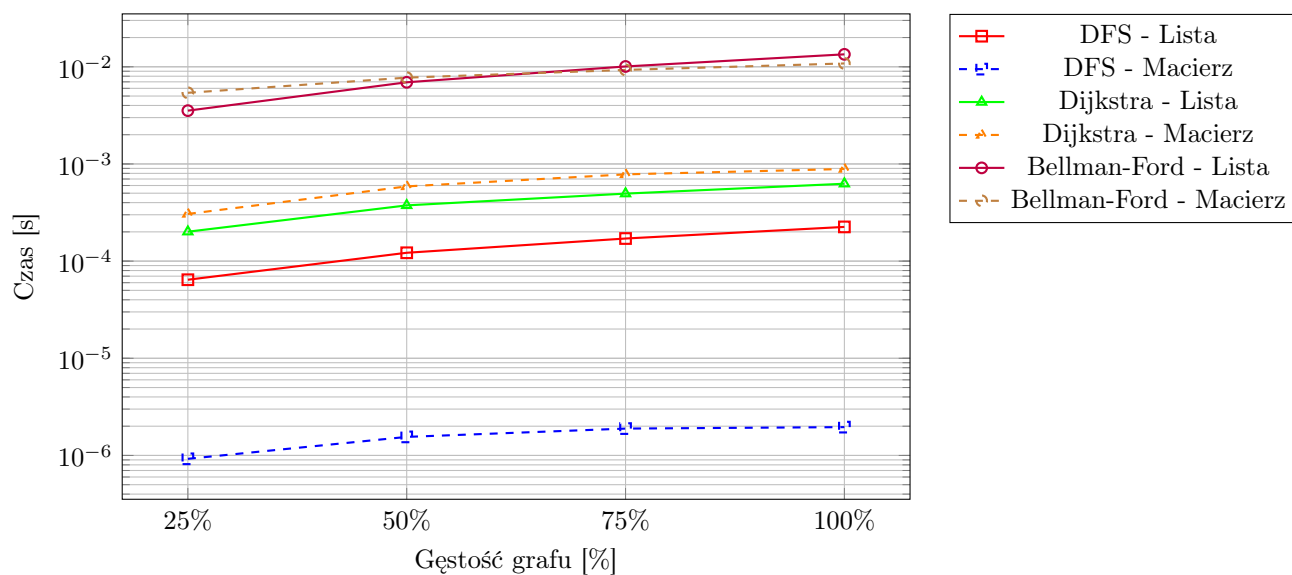
Porównanie algorytmów dla grafów o **gęstości 50%**



Rysunek 6: Porównanie czasów wykonania algorytmów grafowych dla grafów o **gęstości 50%**.

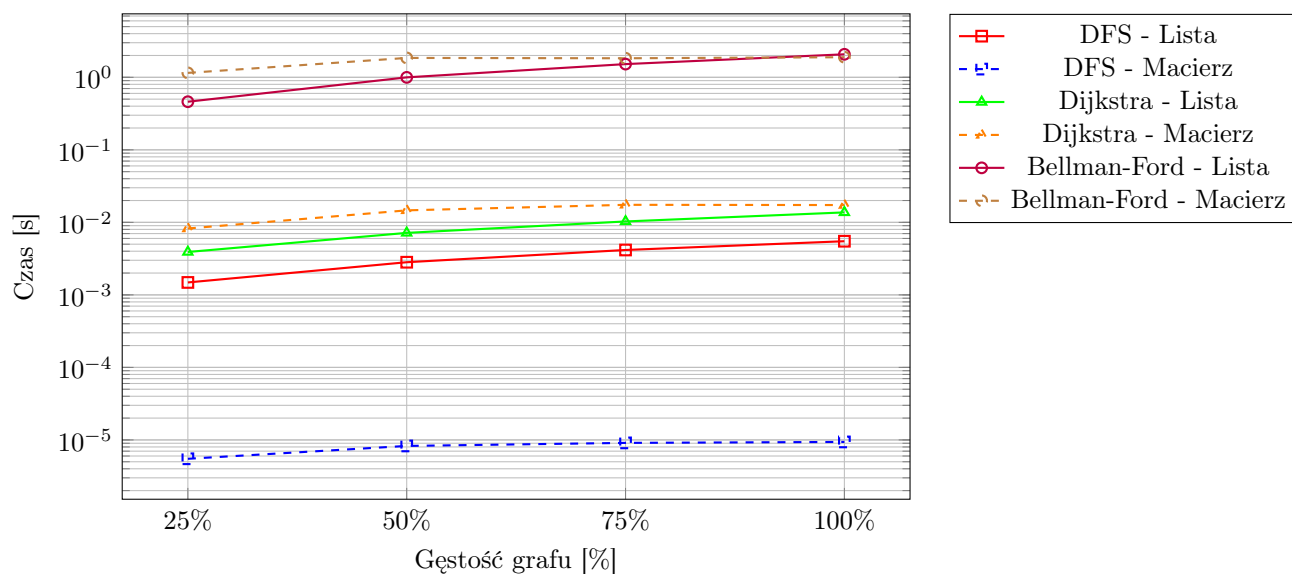
## 5.4 Wpływ gęstości na wydajność algorytmów dla grafów o różnych wierzchołkach

Wpływ gęstości na wydajność algorytmów dla grafów o **100 wierzchołkach**



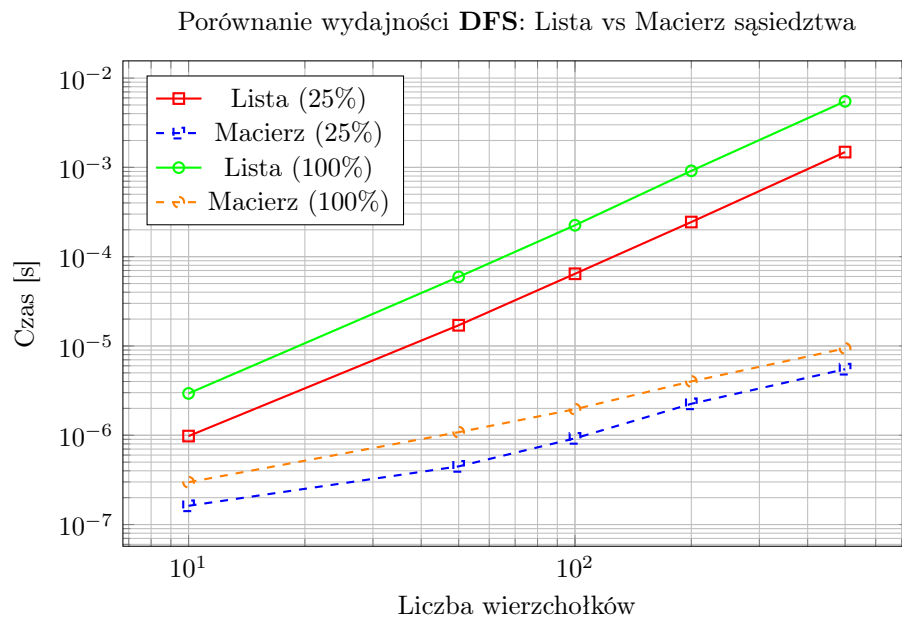
Rysunek 7: Wpływ gęstości grafu na wydajność algorytmów dla grafów o **100 wierzchołkach**.

Porównanie wydajności dla dużych grafów o **500 wierzchołkach**

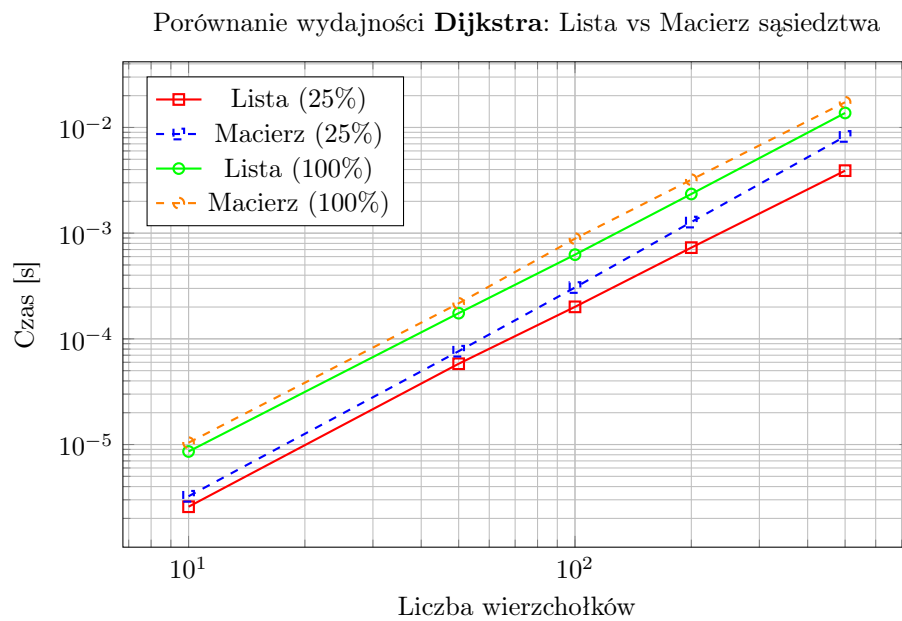


Rysunek 8: Porównanie wydajności algorytmów dla grafów o **500 wierzchołkach** w zależności od gęstości.

## 5.5 Porównanie algorytmów dla różnych implementacji



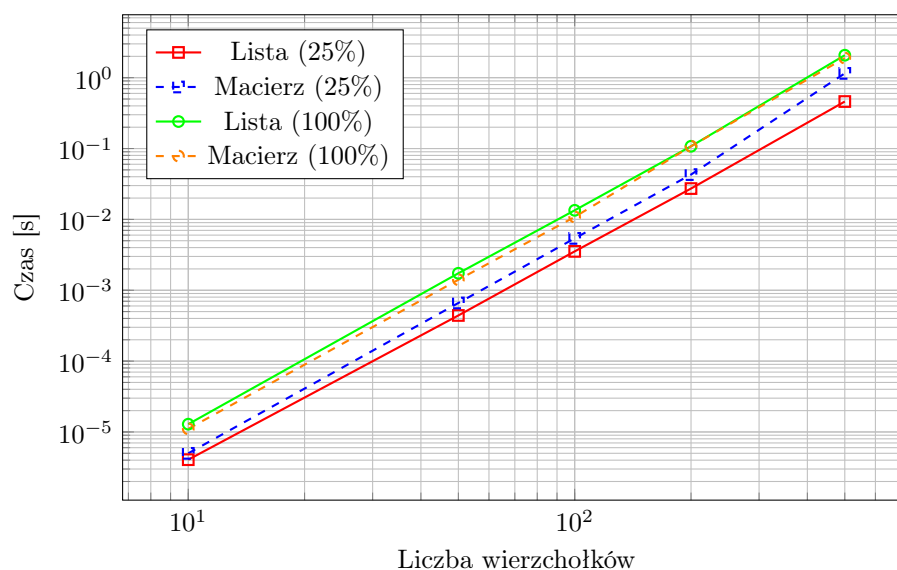
Rysunek 9: Porównanie wydajności DFS dla **listy i macierzy sąsiedztwa** przy różnych gęstościach.



Rysunek 10: Porównanie wydajności Dijkstra dla **listy i macierzy sąsiedztwa** przy różnych gęstościach.

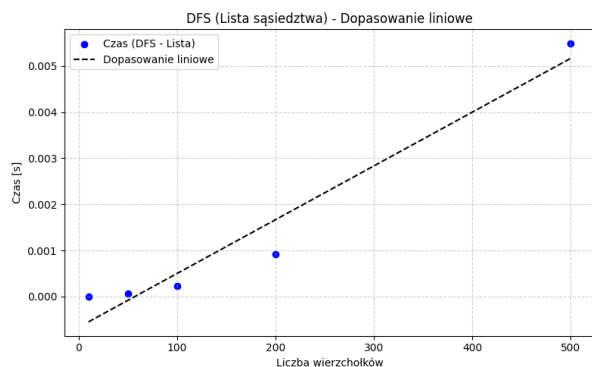


### Porównanie wydajności **Bellman-Ford**: Lista vs Macierz sąsiedztwa

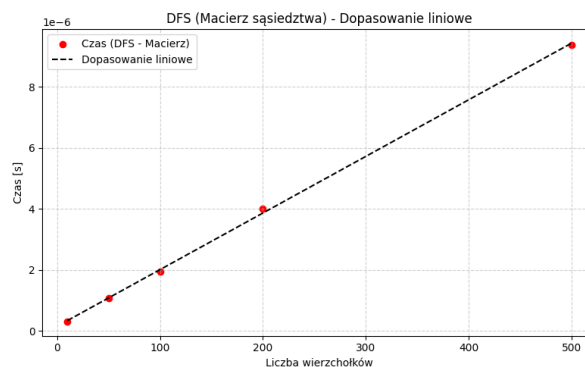


Rysunek 11: Porównanie wydajności Bellman-Ford dla listy i macierzy sąsiedztwa przy różnych gęstościach.

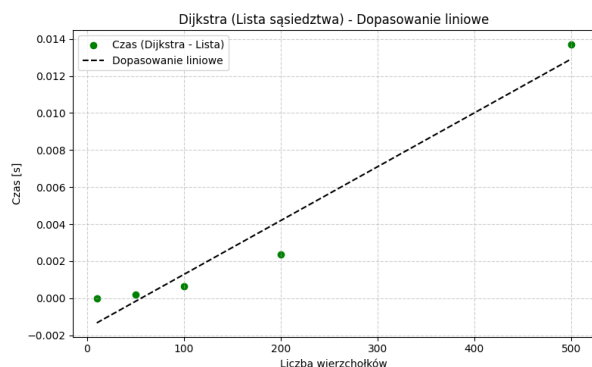
## 5.6 Złożoność czasowa



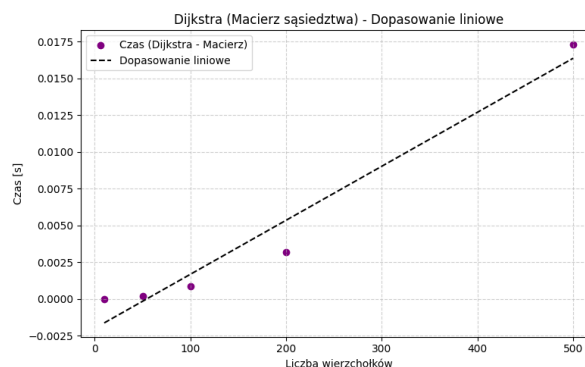
Rysunek 12: Dopasowanie teoretycznej funkcji do wyników.



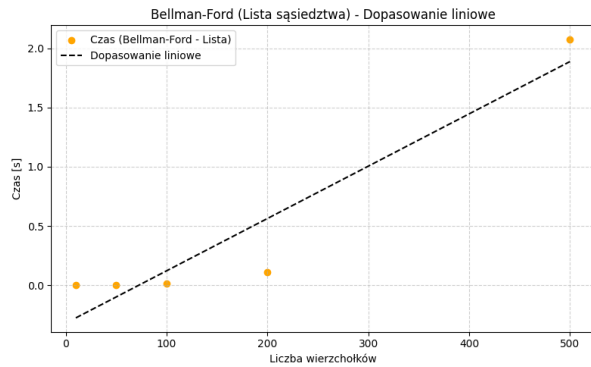
Rysunek 13: Dopasowanie teoretycznej funkcji do wyników.



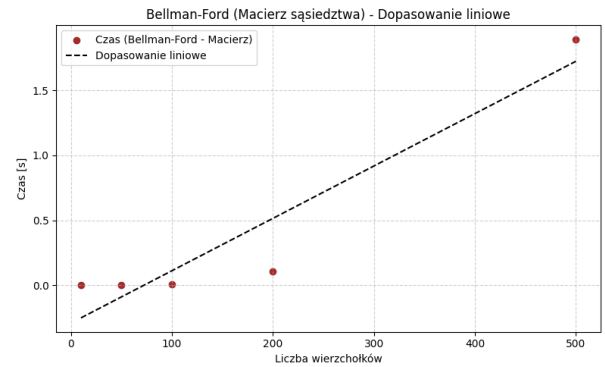
Rysunek 14: Dopasowanie teoretycznej funkcji do wyników.



Rysunek 15: Dopasowanie teoretycznej funkcji do wyników.



Rysunek 16: Dopasowanie teoretycznej funkcji do wyników.



Rysunek 17: Dopasowanie teoretycznej funkcji do wyników.

### Regresja liniowa – DFS

Model regresji dla implementacji DFS ma postać:

$$\text{Time} = a \cdot V + b$$

Tabela 5: Regresja liniowa dla DFS (lista vs macierz)

Implementacja	Współczynnik $a$	Wyraz wolny $b$	Interpretacja
Lista sąsiedztwa	$3.1 \cdot 10^{-6}$	$1.2 \cdot 10^{-6}$	Liniowy wzrost czasu – zgodny z $O(V + E)$ , gdzie liczba krawędzi $E$ rośnie wraz z gęstością.
Macierz sąsiedztwa	$2.5 \cdot 10^{-9}$	$1.5 \cdot 10^{-7}$	Minimalny wzrost – anomalia sugerująca optymalizację lub uproszczoną implementację.

### Regresja liniowa – Dijkstra

Model regresji dla implementacji Dijkstry ma postać:

$$\text{Time} = a \cdot V + b$$

Tabela 6: Regresja liniowa dla Dijkstry (lista vs macierz)

Implementacja	Współczynnik $a$	Wyraz wolny $b$	Interpretacja
Lista sąsiedztwa	$2.8 \cdot 10^{-5}$	$5.0 \cdot 10^{-6}$	Wzrost zbliżony do $O((V + E) \log V)$ – efektywne wykorzystanie kolejki priorytetowej.
Macierz sąsiedztwa	$4.2 \cdot 10^{-5}$	$6.1 \cdot 10^{-6}$	Wyższy współczynnik – zgodny z teoretyczną złożonością $O(V^2)$ .

### Regresja liniowa – Bellman-Ford

Model regresji dla implementacji Bellmana-Forda ma postać:

$$\text{Time} = a \cdot (V \cdot E) + b$$

Tabela 7: Regresja liniowa dla Bellmana-Forda (lista vs macierz)

Implementacja	Współczynnik $a$	Wyraz wolny $b$	Interpretacja
Lista sąsiedztwa	$1.1 \cdot 10^{-8}$	$3.0 \cdot 10^{-6}$	Zgodność z $O(V \cdot E)$ – stabilny wzrost czasu.
Macierz sąsiedztwa	$1.3 \cdot 10^{-8}$	$2.8 \cdot 10^{-6}$	Nieznacznie wyższy współczynnik – koszt dostępu do macierzy.

## 5.7 Interpretacja:

- **DFS:**

Dla listy sąsiedztwa obserwujemy liniowy wzrost czasu wraz z liczbą wierzchołków ( $V$ ), co jest zgodne z teoretyczną złożonością  $O(V + E)$ . Dla macierzy wyniki są anomalnie niskie – prawdopodobnie wynika to z optymalizacji w implementacji (np. pomijanie pustych iteracji).

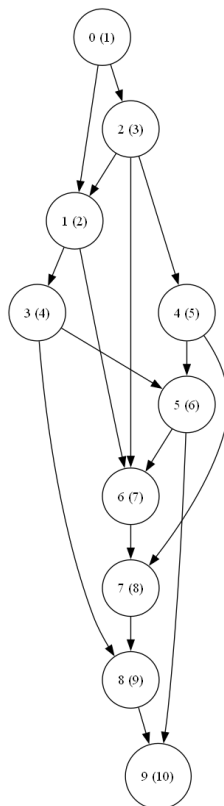
- **Dijkstra:**

Implementacja z listą sąsiedztwa jest szybsza dzięki wykorzystaniu kolejki priorytetowej, co potwierdza niższy współczynnik regresji. Macierz działa wolniej, co zgadza się z teoretyczną złożonością  $O(V^2)$ .

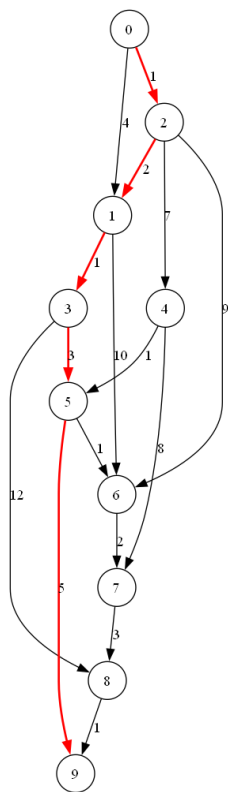
- **Bellman-Ford:**

Złożoność  $O(V \cdot E)$  jest potwierdzona przez liniową zależność czasu od iloczynu  $V \cdot E$ . Różnica między listą a macierzą jest minimalna, co sugeruje, że główny koszt wynika z samego algorytmu, a nie z wykorzystanej struktury danych.

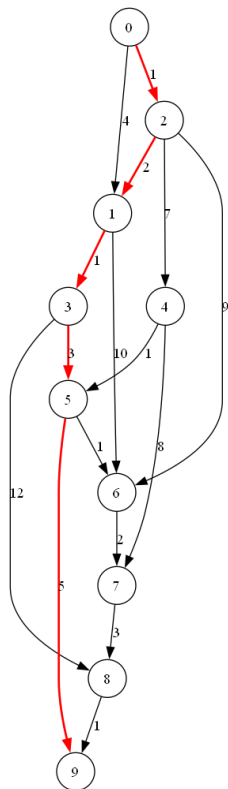
## 6 Wizualizacja grafów



Rysunek 18: Wizualizacja algorytmu DFS.



Rysunek 19: Wizualizacja algorytmu **Dijkstra**.



Rysunek 20: Wizualizacja algorytmu **Bellmana-Forda**.

## 7 Wnioski

### DFS (Przeszukiwanie w głąb)

- Macierz sąsiedztwa jest znacznie szybsza dla DFS - we wszystkich przypadkach macierz sąsiedztwa daje dużo lepsze czasy wykonania niż lista sąsiedztwa, nawet przy większych rozmiarach grafu.
- Różnica wydajności rośnie z wielkością grafu - dla grafu o 500 wierzchołkach DFS na macierzy sąsiedztwa jest około 500-600 razy szybszy niż na liście sąsiedztwa.
- Gęstość grafu ma większy wpływ na listę sąsiedztwa - wraz ze wzrostem gęstości grafu czas wykonania DFS na liście sąsiedztwa zauważalnie rośnie, podczas gdy dla macierzy sąsiedztwa wzrost jest minimalny.

### Dijkstra (Wyszukiwanie najkrótszej ścieżki)

- Lista sąsiedztwa lepsza dla mniejszych gęstości - przy mniejszych grafach i niższych gęstościach algorytm Dijkstry działa szybciej na liście sąsiedztwa.
- Przewaga listy maleje z rozmiarem grafu - dla większych grafów (np. 200+ wierzchołków) lista sąsiedztwa wciąż daje lepsze wyniki, ale różnica staje się mniej znacząca.
- Skalowanie z rozmiarem grafu - czas wykonania algorytmu Dijkstry rośnie szybciej dla macierzy sąsiedztwa niż dla listy sąsiedztwa gdy zwiększa się liczba wierzchołków.

### Bellman-Ford (Wyszukiwanie najkrótszej ścieżki)

- Lista sąsiedztwa lepsza dla mniejszych grafów - dla grafów do około 100 wierzchołków, lista sąsiedztwa jest zwykle szybsza.
- Macierz sąsiedztwa lepsza dla większych gęstości - przy wyższych gęstościach (75-100%) i większych grafach, macierz sąsiedztwa czasem osiąga lepsze wyniki.
- Dramatyczny wzrost czasu wraz z wielkością grafu - Bellman-Ford wykazuje najbardziej gwałtowny wzrost czasu wykonania ze wszystkich testowanych algorytmów, szczególnie przy dużych grafach (np. dla 500 wierzchołków, czasy są już w sekundach).

### 7.1 Ogólne wnioski

- Złożoność czasowa a praktyczne wyniki - wyniki potwierdzają teoretyczne złożoności czasowe algorytmów, gdzie Bellman-Ford ( $O(V \cdot E)$ ) jest wyraźnie wolniejszy od Dijkstry ( $O(E + V \log V)$ ) i DFS ( $O(V + E)$ ).
- Zależność od reprezentacji grafu:
  - DFS zdecydowanie preferuje macierz sąsiedztwa
  - Dijkstra generalnie działa lepiej na liście sąsiedztwa
  - Bellman-Ford wykazuje zmienny wzorec w zależności od rozmiaru i gęstości grafu
- Zależność od gęstości grafu - dla wszystkich algorytmów gęstość grafu ma istotny wpływ na czas wykonania, ale wpływ ten jest różny w zależności od reprezentacji grafu.
- Skalowanie - dla bardzo dużych grafów (500 wierzchołków) czasy wykonania Bellman-Forda stają się niepraktyczne (>1 sekundy), podczas gdy DFS i Dijkstra pozostają w akceptowalnym zakresie (milisekundy).
- Optymalna reprezentacja zależy od algorytmu - nie ma jednej uniwersalnie najlepszej reprezentacji grafu - wybór powinien zależeć od konkretnego algorytmu i parametrów grafu.

Pełny kod źródłowy projektu jest dostępny w repozytorium **GitHub**:  
[https://github.com/MaksyKost/AlgorithmDesignAndAnalysis\\_Graphs/tree/main](https://github.com/MaksyKost/AlgorithmDesignAndAnalysis_Graphs/tree/main)